

れ事例内において同一パターンを示した(表10)。PFGEのタイプ分けでタイプEDに分類された事例4、事例5、事例8とタイプEKに分類された事例15、タイプEAに分類された事例9、事例13とタイプEBに分類された事例6がIS-Printing Systemでは同一パターンとなった。また、同じクラスターに分類されたがIS-Printing Systemで異なるパターンを示したもののは、事例1の2菌株、タイプEDに分類された事例2と事例4、事例5、事例8、タイプEAに分類された事例9、事例13と事例11、タイプEDに分類された事例2と事例17と事例4、事例5、事例8であった(表11)。

6. 施設F

PFGEによるタイプ分けの結果、FA～FGの7クラスターに分類された(図5)。集団事例1はタイプFAで、このうち4株については、感染研タイプc442であった。事例2はタイプFBで感染研タイプc642、事例3と事例4がタイプFCで感染研タイプb293、事例5がタイプFDで感染研タイプb219、集団事例6がタイプFEで感染研タイプc251とFFで感染研タイプc633に分類され、家族内事例7がタイプFGで感染研タイプc630とc631であった。

IS-Printing Systemでも、同様に7パターンに分類され、事例1がF-C3DFD3EB、事例2がD-11095893、事例3と事例4がF-D3DFF7FB、事例5がF-9AA3C413、事例6がD-110B4883及びD-110A488B、事例7がD-C69AC35Bであった(表12)。事例7の菌株17と菌株18は、同一クラスターに分類され、IS-Printing Systemのパターンも一致したものので、感染研タイプ分けでは、c630とc631にタイプ分けされた(表13)。

7. 施設G

PFGEによるタイプ分けの結果、GA～GIの9クラスターに分類された。散発事例1～8は、それぞれ別のクラスターに分類され、家族内事例9は、同一のクラスターに分類された。

IS-Printing Systemでも、同様に9パターンに分類され、散発事例1～8はそれぞれF-D35D703B、F-D3DF727B、F-F3DC723B、F-C3D5527B、

F-D3DF327B、B-D3DC727B、F-9FA56313、B-F3D578FBと別のパターンを示し、家族内事例9はF-D3DF78FBで同一のパターンを示し(表14)、PFGEのタイプ分けとよく一致した(表15)。

8.施設H

PFGEによるタイプ分け(感染研)では、事例1、事例2がb481、事例3がb705、集団事例4がb213、集団事例5がc389、c390、事例6がb423、事例7がc388、集団事例8がc495に分類された。

IS-Printing Systemでは、事例1、事例2がF-F3DB523Bで同一パターンを示し、事例3、事例6、事例7がそれぞれF-F3DF723B、D-110B5093、D-9683C313と異なるパターンを示した。また、集団事例4がF-93CF627A、事例5がD-928BC313、事例8がD-110B5092とそれぞれ事例内菌株は同一パターンを示した(表16)。

集団事例5において感染研タイプ分けではc389、c390に分類されたが、IS-Printing Systemでは同一のパターンとなった。その他の事例については、感染研タイプ分けとIS-Printing Systemのパターンは良く一致した(表17)。

9.施設I

PFGEによるタイプ分け(類似係数:Dice、トランス設定:2.3%、クラスター範囲:90.0～100.0%)の結果、単一クラスターに分類された。また、事例2、事例4、事例5、事例8、事例9が類似性100%であった(図5)。

IS-Printing Systemでは、事例1、事例2、事例4、事例5、事例8、事例9が同一パターンのF-C3DB5276であったが、事例3がF-D1DE7276、事例6がF-D3DFF276、事例7がF-735F7024と、それぞれ異なるパターンとなった(表18)。

PFGEにおいて全事例が単一のクラスターに分類されたが、IS-Printing Systemのパターンでは事例1、事例2、事例4、事例5、事例8、事例9のパターンと事例3のパターン、事例6のパターン、事例7のパターンの4パターンが認められた(表19)。

10.施設間の比較

PFGEの感染研タイプ分けでは、施設Cの菌株S2

と施設 D の菌株 1、菌株 2、菌株 3 が同じ c179 であったが、施設 C の菌株 S2 が F-01DB007B で施設 D の菌株 1、菌株 2、菌株 3 が F-C3DB527B と施設間で異なった。また、施設 D の菌株 7 と施設 F の菌株 6、菌株 7、菌株 8、菌株 9 が c442 であったが、施設 D の菌株 7 は F-C3DF527B、施設 F の 4 菌株は F-C3DFD3EB と施設間で異なった。

IS-Printing Systemにおいて、施設 E の事例 14 と施設 H の事例 6 が D-110B5093、施設 A の事例 13 と施設 E の事例 3 が F-729BD23A、施設 D の事例 1、事例 2、事例 3 と施設 E の事例 4、事例 5、事例 8、事例 15 が F-C3DB527B、施設 A の事例 3、事例 15 と施設 B の事例 7、施設 E の事例 17、施設 G の事例 2 が F-D3DF727B、施設 E の事例 12、施設 H の事例 3 が F-F3DF723B でそれぞれ同一のパターンを示した。

D. 考察

今回の研究結果では、各集団事例内での IS-Printing System のパターンの一一致度は高かった。集団発生事例において事例内で IS-Printing System のパターンが一致しなかったものは、施設 A の事例 6 と施設 F の事例 6 及び施設 D の事例 6 の 3 事例であった。このうち施設 A の事例 6 については、PFGE では同一のタイプ AK に分類されたが、IS-Printing System では、病原性関連遺伝子 hlyA のバンドの有無と、1st セットの 1-04 のバンドの有無の違いが認められた。事例 6 の菌株は、菌株 45 が患者便由来、菌株 46 が健康保菌者便由来であり、このことが、IS-Printing System でのパターンの違いに現れた可能性も示唆されるが、今後更に検討する必要があると思われる。施設 F の事例 6 については、事例内 3 菌株において菌株 14 及び菌株 15 が感染研タイプ分けで同一タイプ c251 に、菌株 16 が c633 に分類されており、IS-Printing System のパターン分けと一致していた。また、施設 D の事例 6 については感染研タイプ分けで全て異なるタイプに分類されたが、IS-Printing System のパターン分けでは、事例 7、事例 8 が同一パターンで、事例 9 が Stx2 遺伝子のバンドがないもの

の、その他の病原性関連遺伝子、IS エリアのパターンはこれらと同一であり、事例 10 は 1st セットの 1-16 のバンドの違いのみであった。これらのことから、IS-Printing System による菌株のタイプ分けは、集団発生事例において、有効であると考えられるが、IS-Printing System のパターンの違いと類似性については更に検討が必要であると思われる。

しかし、各事例間でのパターンを比較すると、施設 E の事例 1 と事例 2 の PFGE タイプ EJ、ED が IS-Printing System で F-D3DE527B と、事例 4、事例 5、事例 8 のタイプ ED と事例 15 のタイプ EK が、IS-Printing System で F-C3DB527B、施設 A の事例 3 と事例 15 のタイプ AD、AC が IS-Printing System で F-D3DF727B のように、IS-Printing System で同一のパターンを示し、PFGE のタイプ分けが異なったもの、また、反対に施設 A のタイプ AC の事例 11、事例 14 (F-D3DF527B)、事例 13 (F-729BD23A)、事例 15 (F-D3DF727B)、施設 A のタイプ AE の事例 12、事例 17 (F-D3DF527A)、事例 18 (F-D3CF727A)、施設 A のタイプ AK の事例 5 (7-10884000)、事例 6 (F-10929904、7-00929904)、事例 7 (F-93529904)、施設 B のタイプ BA の事例 5 (E-D3DB727A)、事例 7 (F-D3DF727B)、事例 8 (F-D3DFF27B)、事例 9 (E-D3DF727B)、施設 B のタイプ BD の事例 2 (F-1683C203)、事例 4 (F-9EA3C313)、施設 C のタイプ CA の事例 1 (F-01DF007A)、事例 2 (F-01DB007B)、事例 3 (3-015F0033)、施設 E のタイプ EA の事例 9、事例 13 (D-C29B7232)、事例 11 (D-C29B5232)、施設 E のタイプ ED の事例 2 (F-D3DF527B)、事例 4、事例 5、事例 8 (F-C3DB527B)、事例 17 (F-D3DF727B)、及び施設 I の事例 1、事例 2、事例 4、事例 5、事例 8、事例 9 (F-C3DB5276)、事例 3 (F-D1DE7276)、事例 6 (F-D3DFF276)、事例 7 (F-735F7024) のように PFGE のクラスター分けで同一クラスターに分類されたが、IS-Printing System で異なるパターンとなったものが認められた。PFGE のクラスター分けは、類似係数の選択とトレランス設定に

よって変化する場合があり、更に精査する必要があると思われる。施設間では、施設 E の事例 14 と施設 H の事例 6 が D-110B5093、施設 D の事例 1、事例 2、事例 3 と施設 E の事例 4、事例 5、事例 8、事例 15 が F-C3DB527B、施設 A の事例 3、事例 15 と施設 B の事例 7、施設 E の事例 17 及び施設 G の事例 2 が F-D3DF727B、施設 E の事例 12 と施設 H の事例 3 が F-F3DF723B で IS-Printing System のパターンが一致した。また、感染研タイプ分けの同じ菌株が施設間で IS-Printing System のパターンに相違が見られた。今回、PFGE タイプ分けを各施設で行ったため、検証するまでには至らなかつたが、感染研タイプ分けの同じ菌株が IS-Printing System で異なるパターンを示したことなどから PFGE だけではなく IS-Printing System を併用することで、更に多くの情報が収集され、より正確な分子疫学的分析が可能になるのではないかと思われた。

IS-Printing System の判定については、小さいサイズのバンドが不明瞭、バンドの濃淡による判定者間での差異、大きいサイズのバンドが重なり判定しづらい等の意見があった。原因としては、菌株、使用菌量、泳動時間等による差が考えられるが、今後、各施設でのプロトコール、装置、条件等の違いについて検証を行う必要があると考える。

IS-Printing System のデータは、1st セット 18 本、2nd セット 18 本の計 36 本のバンドをその有無により 1 と 0 に置き換えて比較する。この場合、少ない菌株数であれば、相違の確認も容易にできるが、菌株数が増えてくると相違の確認に手間取ってしまうばかりか、見落としなどの危険性も出てくる。今回、独自に IS-Printing System のデータをコード化し比較検討を行ったが、コード化することでデータを簡素化でき、また、比較検討が容易となった。今回のデータのコード化で用いた 16 進数は、0～9 と A～F を使って標記するコンピュータなどのデジタルデータを数値化するときに用いられ、デジタルデータを効率よく数値化するものである。IS-Printing System では、1st セット、2nd セットの IS エリアがそれぞれ 16 本のバンドで構

成され、更に病原性関連遺伝子が 4 本のバンドで構成されているため、これらを 4 本ずつまとめ、16 進数へ変換することで効率よくコード化することができた。また、病原性関連遺伝子の欠落、1st セット、2nd セットのどのバンドが有り、どのバンドが無いかなどをコードから判断できることから、単に数値化したものよりも有益であった。しかし、16 進数については、一般にあまりなじみが無いことから、一般的な 10 進数を用いたコード化についても検討して行く必要があると思われる。

E. 結論

IS-Printing System での分子疫学的分析は、集団事例の事例内での相同性が PFGE とよく一致しており、短時間で行えること、操作が簡単で、広く普及している PCR ベースで行えることなどから、事例発生初期の段階での集団事例か散発事例かの判断材料として有用であると思われる。

散発事例については、PFGE よりも劣る場合と優れている場合があり、更に、事例を増やして、PFGE との比較検討を行う必要があると考える。

IS-Printing System の判定においてバンドが不明瞭等の問題が認められた。今後、菌株、使用菌量、使用機器、泳動時間等による差異について検証を行っていく必要があると思われる。

IS-Printing System のデータをコード化することで、その解析が容易になった。16 進数を用いたコード化は、9 衍の数値にバンドの有無の情報を含むことができるもので有用であると考えるが、一般的な数値ではなく、一般的な 10 進数等でバンド情報を含むコードの生成を検討する必要があると思われた。

F. 健康危機情報 特になし

G. 研究発表 なし

表 1-1 施設別供試菌株

施設	事例	発生年	菌株番号	血清型	毒素	由来	備考
A	1	2007年	1	O157:H7	Stx2	Patient	
			2	O157:H7	Stx2	Patient	
			3	O157:H7	Stx2	Patient	
			4	O157:H7	Stx2	Patient	
			5	O157:H7	Stx2	Patient	
	2	2006年	6	O157:H7	Stx1,Stx2	Patient	
			7	O157:H7	Stx1,Stx2	Patient	
			8	O157:H7	Stx1,Stx2	Patient	
			9	O157:H7	Stx1,Stx2	Patient	
			10	O157:H7	Stx1,Stx2	Patient	
	3	2005年	11	O157:H7	Stx1,Stx2	Patient	
			12	O157:H7	Stx1,Stx2	Patient	
			13	O157:H7	Stx1,Stx2	Patient	
			14	O157:H7	Stx1,Stx2	Patient	
			15	O157:H7	Stx1,Stx2	Patient	
			16	O157:H7	Stx1,Stx2	Patient	
			17	O157:H7	Stx1,Stx2	Patient	
			18	O157:H7	Stx1,Stx2	Patient	
			19	O157:H7	Stx1,Stx2	Staff	
			20	O157:H7	Stx1,Stx2	Staff	
			21	O157:H7	Stx1,Stx2	Patient	
			22	O157:H7	Stx1,Stx2	Patient	
			23	O157:H7	Stx1,Stx2	Patient	
			24	O157:H7	Stx1,Stx2	Patient	
			25	O157:H7	Stx1,Stx2	Patient	
			26	O157:H7	Stx1,Stx2	Patient	
			27	O157:H7	Stx1,Stx2	Patient	
			28	O157:H7	Stx1,Stx2	Patient	
			29	O157:H7	Stx1,Stx2	Patient	
			30	O157:H7	Stx1,Stx2	Patient	
			31	O157:H7	Stx1,Stx2	Carrier	
			32	O157:H7	Stx1,Stx2	Carrier	
			33	O157:H7	Stx1,Stx2	Staff	
			34	O157:H7	Stx1,Stx2	Staff	
			35	O157:H7	Stx1,Stx2	Staff	
			36	O157:H7	Stx1,Stx2	Relatives	
	4	1996年	38	O157:H7	Stx1,Stx2	Patient	
			39	O157:H7	Stx1,Stx2	Patient	
			41	O157:H7	Stx1,Stx2	Patient	MUG(-)
			42	O157:H7	Stx1,Stx2	Patient	MUG(-)
			43	O157:H7	Stx1,Stx2	Patient	MUG(-)
			44	O157:H7	Stx1,Stx2	Swab	MUG(-)
	6	1996年	45	O157:H7	Stx1,Stx2	Patient	MUG(-)
			46	O157:H7	Stx1,Stx2	Carrier	MUG(-)
	7	1996年	47	O157:H7	Stx1,Stx2	Patient	MUG(-)
			48	O157:H7	Stx1,Stx2	Carrier	MUG(-)
			49	O157:H7	Stx1,Stx2	Carrier	MUG(-)
			50	O157:H7	Stx1,Stx2	Carrier	MUG(-)
	8	1998年	51	O157:H7	Stx1,Stx2	Patient	
			52	O157:H7	Stx1,Stx2	Patient	
			53	O157:H7	Stx1,Stx2	Patient	
	9	2007年	57	O157:H7	Stx1,Stx2	Patient	
	10	2007年	58	O157:H7	Stx1,Stx2	Patient	
	11	2007年	59	O157:H7	Stx1,Stx2	Carrier	
	12	2007年	60	O157:H7	Stx1,Stx2	Carrier	
	13	2007年	61	O157:H7	Stx1,Stx2	Patient	
	14	2007年	63	O157:H7	Stx1,Stx2	Patient	
	15	2007年	64	O157:H7	Stx1,Stx2	Patient	
	16	2007年	65	O157:H7	Stx1,Stx2	Patient	
	17	2007年	66	O157:H7	Stx1,Stx2	Patient	
	18	2007年	67	O157:H7	Stx1,Stx2	Patient	

表 1-2 施設別供試菌株

施設	事例	発生年	菌株番号	血清型	毒素	由来	備考
B	1	2007年	1	O157:H7	Stx1,Stx2		感染研Type c167
	2	2007年	2	O157:H7	Stx1,Stx2		感染研Type c163
	3	2007年	3	O157:H7	Stx2		感染研Type c162
	4	2007年	4	O157:H7	Stx1,Stx2		感染研Type c160
	5	2007年	5	O157:H7	Stx1,Stx2		
	6	2007年	6	O157:H7	Stx2		
	7	2007年	7	O157:H7	Stx1,Stx2		
	8	2007年	8	O157:H7	Stx1,Stx2		
	9	2006年	9	O157:H7	Stx1,Stx2		感染研Type b143
			10	O157:H7	Stx1,Stx2		感染研Type b189
			11	O157:H7	Stx1,Stx2		感染研Type b143
C	1	2007年	1	O157:H7	Stx1,Stx2		感染研Type c466
	2	2007年	2	O157:H7	Stx1,Stx2		感染研Type c179
	3	2007年	3	O157:H7	Stx1,Stx2		感染研Type c465
	4	2007年	4	O157:H-	Stx1,Stx2		感染研Type c458
	5	2007年	5	O157:H7	Stx2		感染研Type c471
D	1	2007年	1	O157:H7	Stx1,Stx2		感染研Type c179
	2	2007年	2	O157:H7	Stx1,Stx2		感染研Type c179
	3	2007年	3	O157:H7	Stx1,Stx2		感染研Type c179
			4	O157:H7	Stx1,Stx2		感染研Type c214
	4	2007年	5	O157:H7	Stx1,Stx2		感染研Type c221
	5	2007年	6	O157:H7	Stx1,Stx2		感染研Type c221
	6	2007年	7	O157:H7	Stx1,Stx2		感染研Type c442
			8	O157:H7	Stx1		感染研Type c494
			9	O157:H7	Stx1,Stx2		感染研Type c522
			10	O157:H7	Stx1,Stx2		感染研Type c523
E	1	2007年	2509	O157:H7	Stx1		
			2511	O157:H7	Stx1,Stx2		
	2	2007年	2513	O157:H7	Stx1,Stx2		
	3	2007年	2515	O157:H-	Stx1,Stx2		
	4	2007年	2518	O157:H7	Stx1,Stx2		
	5	2007年	2521	O157:H7	Stx1,Stx2		
			2523	O157:H7	Stx1,Stx2		
			2525	O157:H7	Stx1,Stx2		
	6	2007年	2527	O157:H-	Stx1,Stx2		
	7	2007年	2529	O157:H7	Stx1,Stx2		
	8	2007年	2531	O157:H7	Stx1,Stx2		
	9	2007年	2535	O157:H7	Stx2		
	10	2007年	2537	O157:H7	Stx1,Stx2		
	11	2007年	2635	O157:H7	Stx1,Stx2		
	12	2007年	2639	O157:H7	Stx1,Stx2		
			2641	O157:H7	Stx1,Stx2		
			2643	O157:H7	Stx1,Stx2		
	13	2007年	2645	O157:H7	Stx2		
			2647	O157:H7	Stx2		
	14	2007年	2649	O157:H7	Stx2		
			2651	O157:H7	Stx2		
			2653	O157:H7	Stx2		
	15	2007年	2655	O157:H7	Stx1,Stx2		
	16	2007年	2657	O157:H-	Stx1,Stx2		
	17	2007年	2659	O157:H7	Stx1,Stx2		
			2661	O157:H7	Stx1,Stx2		

表1-3 施設別供試菌株

施設	事例	発生年	菌株番号	血清型	毒素	由来	備考
F	1	2007年	1	O157:H7	Stx1,Stx2		
			2	O157:H7	Stx1,Stx2		
			3	O157:H7	Stx1,Stx2		
			4	O157:H7	Stx1,Stx2		
			5	O157:H7	Stx1,Stx2		
			6	O157:H7	Stx1,Stx2		感染研Type c442
			7	O157:H7	Stx1,Stx2		感染研Type c442
			8	O157:H7	Stx1,Stx2		感染研Type c442
			9	O157:H7	Stx1,Stx2		感染研Type c442
	2	2007年	10	O157:H7	Stx2		感染研Type c642
	3	2007年	11	O157:H7	Stx1,Stx2		感染研Type b293
	4	2007年	12	O157:H7	Stx1,Stx2		感染研Type b293
	5	2007年	13	O157:H7	Stx1,Stx2		感染研Type c219
	6	2007年	14	O157:H7	Stx2		感染研Type c251
			15	O157:H7	Stx2		感染研Type c251
			16	O157:H7	Stx2		感染研Type c633
	7	2007年	17	O157:H7	Stx2		感染研Type c630
			18	O157:H7	Stx2		感染研Type c631
G	1		1	O157:H7	Stx1,Stx2		
	2		2	O157:H7	Stx1,Stx2		
	3		3	O157:H7	Stx1,Stx2		
	4		4	O157:H7	Stx1,Stx2		
	5		5	O157:H7	Stx1,Stx2		
	6		6	O157:H7	Stx1,Stx2		
	7		7	O157:H7	Stx1,Stx2		
	8		8	O157:H7	Stx1,Stx2		
	9		9	O157:H7	Stx1,Stx2		
			10	O157:H7	Stx1,Stx2		
H	1	2007年	1	O157:H7	Stx1,Stx2		感染研Type b418
	2	2007年	2	O157:H7	Stx1,Stx2		感染研Type b418
	3	2007年	3	O157:H7	Stx1,Stx2		感染研Type b705
	4	2007年	4	O157:H7	Stx1,Stx2		感染研Type b213
			5	O157:H7	Stx1,Stx2		感染研Type b213
	5	2007年	6	O157:H7	Stx2		感染研Type c389
			7	O157:H7	Stx2		感染研Type c390
	6	2007年	8	O157:H7	Stx2		感染研Type c423
	7	2007年	9	O157:H7	Stx2		感染研Type c388
	8	2007年	10	O157:H7	Stx2		感染研Type c495
			11	O157:H7	Stx2		感染研Type c495
I	1	2007年	EC11999	O157:H7	Stx1,Stx2		
	2	2007年	EC12000	O157:H7	Stx1,Stx2		
	3	2007年	EC12010	O157:H7	Stx1,Stx2		
	4	2007年	EC12013	O157:H7	Stx1,Stx2		
	5	2007年	EC12017	O157:H7	Stx1,Stx2		
	6	2007年	EC12018	O157:H7	Stx1,Stx2		
	7	2007年	EC12021	O157:H7	Stx1,Stx2		
	8	2007年	EC12022	O157:H7	Stx1,Stx2		
	9	2007年	EC12027	O157:H7	Stx1,Stx2		

表2 施設A IS-Printing Systemの結果

表3 施設AのPFGEタイプとISコード

施設	事例	番号	PFGE		ISコード
			感染研Type No.	各施設別クラスター	
施設A	事例1	1		AA	D-C69BD23A
		2			
		3			
		4			
		5			
	事例2	6		AJ	F-F35F783B
		7			
		8			
		9			
		10			
	事例3	11		AD	F-D3DF727B
		12			
		13			
		14			
		15			
		16			
		17			
		18			
		19			
		20			
		21			
		22			
		23			
		24			
	事例4	25		AI	F-19CB4282
		26			
	事例5	27		AK	7-10884000
		28			
		29			
		30			
		31			
	事例6	32		AK	F-10929904 7-00929904
		33			
	事例7	34		AK	F-93529904
		35			
	事例8	36		AH	F-93CB447B
		38			
		39			
	事例9	41		AF	F-F1DEF23B
		42			
		43			
		44			
	事例10	45		AB	F-C29B7232
		46			
	事例11	47		AC	F-D3DF527B
		48			
		49			
		50			
	事例12	51		AE	F-D3DF527A
		52			
		53			
	事例13	57		AC	F-729BD23A
		58			
	事例14	59		AC	F-D3DF527B
		60			
	事例15	61		AG	F-D3DF727B
		63			
	事例16	64		AE	F-D3DF527A
		65			
	事例17	66		AE	F-D3CF727A
		67			

表4 施設B IS-Printing Systemの結果

規格	事例	番号	1st set												2nd set												ISOコード												
			1	2	3	4	5	6	7	8	9	10	11	12	13	14	15	case	IE	hlyA	1	2	3	4	5	6	7	8	9	10	11	'2	13	14	15	16	stu2	stu1	
規格B	事例1		1	1	0	0	0	0	1	1	1	0	1	1	1	1	0	1	0	0	1	0	0	C	0	1	0	1	1	1	1	1	1	1	1	F-C3D8521B			
	事例2	2	0	0	1	0	1	1	0	1	0	0	0	0	1	1	1	1	1	0	0	0	0	1	0	C	0	0	0	0	1	1	1	1	1	1	F-1683C203		
	事例3	3	0	1	0	0	0	1	0	C	1	1	0	1	1	1	1	0	1	1	0	0	0	1	0	1	C	1	0	0	0	1	1	1	0	1	D-423B62A3		
	事例4	4	1	0	0	1	1	1	0	1	0	0	0	1	1	1	1	1	1	0	0	0	2	1	1	0	C	0	1	0	0	1	1	1	1	1	F-9EAA3C313		
	事例5	5	1	1	-	C	1	0	0	1	1	1	0	1	1	C	1	1	1	1	0	0	1	0	C	1	-	1	1	0	1	C	0	1	E-D3DB721A				
	事例6	6	0	0	0	1	0	0	0	1	0	0	C	0	1	0	1	1	C	1	0	1	0	0	0	0	1	C	0	1	0	0	1	1	1	0	1	D-10A5093	
	事例7	7	1	1	0	1	0	0	1	1	1	1	C	1	1	1	1	1	1	0	1	1	1	0	0	1	1	1	1	0	1	1	1	1	F-D3DF72/B				
	事例8	8	1	1	0	1	0	0	1	1	1	1	C	1	1	1	1	1	1	1	1	1	1	0	0	1	1	1	1	0	1	1	1	1	F-D3DF72/B				
	事例9	9	1	1	C	1	0	0	1	1	1	1	0	1	1	1	1	1	1	0	1	1	1	0	0	1	1	1	1	0	1	1	1	0	1	E-D3DF72/B			
		10	1	1	0	1	0	0	1	1	1	1	C	1	1	1	1	1	1	C	1	1	0	0	1	0	0	1	1	1	0	1	1	0	1	E-D3DF72/B			
		11	1	1	0	1	0	0	1	1	1	1	C	1	1	1	1	1	1	1	0	1	1	1	0	0	1	1	1	1	0	1	1	1	0	1	E-D3DF72/B		

表5 施設BのPFGEタイプとISコード

施設	事例	番号	PFGE		ISコード
			感染研Type No.	各施設別クラスター	
施設B	事例1	1	c167	BB	F-C3DB521B
	事例2	2	c163	BD	F-1683C203
	事例3	3	c162	BC	D-429B62A3
	事例4	4	c160	BD	F-9EA3C313
	事例5	5		BA	E-D3DB727A
	事例6	6		BE	D-110A5093
	事例7	7			F-D3DF727B
	事例8	8			F-D3DFF27B
	事例9	9	b143	BA	
		10	b189		
		11	b143		E-D3DF727B

表 6 施設 C IS-Printing System の結果

港股	事例	番号	1st set															2nd set										IS-3-F								
			1	2	3	4	5	6	7	H	9	10	11	12	13	14	15	aae	16	HlyA	1	2	3	4	5	6	7	8	9	10	11	12	13	14	15	16
港股化	事例1	1	0	0	0	0	0	0	0	1	1	1	0	1	1	1	1	1	1	0	0	0	0	0	0	0	1	1	1	1	0	1	0	1	1	F-01DB001A
	事例2	2	0	0	0	0	0	0	0	1	1	1	0	1	1	0	1	1	1	1	0	0	0	0	0	0	0	1	1	1	0	1	1	1	F-01DB007B	
	事例3	3	0	0	0	0	0	0	0	1	0	1	0	1	1	1	1	0	1	0	0	0	0	0	0	0	0	1	1	0	0	1	1	1	3-013F0033	
	事例4	4	0	0	0	0	0	0	0	0	1	0	0	1	1	0	1	0	1	0	0	0	0	0	0	0	0	1	1	1	0	1	1	1	3-009BD03A	
	事例5	5	0	0	0	0	0	0	0	0	1	0	0	0	0	1	0	1	0	1	0	0	0	0	0	0	0	0	1	0	0	1	1	0	1-010B0013	

表7 施設CのPFGEタイプとISコード

施設	事例	番号	PFGE		ISコード
			感染研Type No.	各施設別クラスター	
施設C	事例1	S1	c466	CA	F-01DF007A
	事例2	S2	c179		F-01DB007B
	事例3	S3	c465	CB	3-015F0033
	事例4	S4	c458		3-009B003A
	事例5	S5	c471	CC	1-010B0013

表 8 施設 D IS-Printing System の結果

施設	車両	番号	1st set															2nd set															ISコード				
			1	2	3	4	5	6	7	8	9	10	11	12	13	14	15	eeA	16	hyA	1	2	3	4	5	6	7	8	9	10	11	12	13	14	15	16	
施設D	車両1	1	1	1	0	0	0	0	1	1	1	0	1	1	0	1	1	1	1	1	0	1	0	0	1	0	0	1	1	1	1	0	1	1	1	F-C3DB527B	
	車両2	2	1	1	0	0	0	0	1	1	1	0	1	1	0	1	1	1	1	1	0	1	0	1	0	0	1	0	0	1	1	1	0	1	1	F-C3DB527B	
	車両3	3	1	1	0	0	0	0	1	1	1	0	1	1	0	1	1	1	1	1	0	1	0	1	0	0	1	0	0	1	1	1	0	1	1	F-C3DB527B	
	車両4	4	1	1	0	0	0	0	1	1	1	0	1	1	0	1	1	1	1	1	0	1	0	1	0	0	1	0	0	1	1	1	0	1	1	F-C3DB527B	
	車両5	5	1	1	0	0	0	0	1	1	1	0	1	1	1	1	1	1	1	1	0	1	0	1	1	0	0	1	0	1	1	0	1	1	0	1	F-C3DE726B
	車両6	6	1	1	0	0	0	0	1	1	1	0	1	1	1	1	1	1	1	1	0	1	0	1	1	0	0	1	0	1	1	0	1	1	0	1	F-C3DE726B
	車両7	7	1	1	0	0	0	0	1	1	1	0	1	1	1	1	1	1	1	1	0	1	0	1	0	0	1	0	0	1	1	1	0	1	1	F-C3DF527B	
		8	1	1	0	0	0	0	1	1	1	0	1	1	1	1	1	1	1	1	0	1	0	1	0	0	1	0	0	1	1	1	0	1	1	F-C3DF527B	
		9	1	1	0	0	0	0	1	1	1	0	1	1	1	1	1	1	1	1	0	1	0	1	0	0	1	1	1	0	1	1	0	1	1	E-C3DF527B	
		10	1	1	0	0	0	0	1	1	1	0	1	1	1	1	1	1	1	1	0	1	0	1	0	0	1	0	0	1	1	1	0	1	1	F-C3DE527B	

表9 施設DのPFGEタイプとISコード

施設	事例	番号	PFGE																ISコード			
			感染研Type No.				各施設別クラスター															
施設D	事例1	1	c179																F-C3DB527B			
	事例2	2																				
	事例3	3																				
	事例4	4	c214																F-C3DE725B			
	事例5	5																				
	事例6	6																				
		7	c442																F-C3DF527B			
		8																				
		9																		E-C3DF527B		
		10	c523																F-C3DE527B			

表10 施設E IS-Printing Systemの結果

施設	事例	番号	PFGE																ISコード			
			感染研Type No.				各施設別クラスター															
施設E	事例1	2509	c179																F-C3DB527B			
	事例2	2511																				
	事例3	2513																				
	事例4	2515	c214																F-729BD23A			
	事例5	2518																				
	事例6	2521																				
	事例7	2523	c442																F-C3DF527B			
	事例8	2525																				
	事例9	2527																				
	事例10	2529	c523																F-C29B7232			
	事例11	2531																				
	事例12	2533																				
	事例13	2535	c525																F-C29B7232			
	事例14	2537																				
	事例15	2539																				
	事例16	2641	c214																F-329BD23A			
	事例17	2643																				
	事例18	2645																				
	事例19	2647	c442																F-110B5093			
	事例20	2649																				
	事例21	2651																				
	事例22	2653	c525																			
	事例23	2655																				
	事例24	2657																				
	事例25	2659	c214																			
	事例26	2661																				

表11 施設EのPFGEタイプとISコード

施設	事例	番号	PFGE																ISコード			
			感染研Type No.				各施設別クラスター															
施設E	事例1	2509	c179																E-D3DE527B			
	事例2	2511																				
	事例3	2513																				
	事例4	2515	c214																F-729BD23A			
	事例5	2518																				
	事例6	2521																				
	事例7	2523	c442																F-C3DB527B			
	事例8	2525																				
	事例9	2527																				
	事例10	2529	c523																F-C29B7232</td			

表 12 施設 F IS-Printing System の結果

施設	事例	番号	1st set															2nd set															ISコード					
			1	2	3	4	5	6	7	8	9	10	11	12	13	14	15	exe	16	HyA	1	2	3	4	5	6	7	8	9	10	11	12	13	14	15	16	stL2	stL1
施設F	事例1	1	1	1	0	0	0	1	1	1	0	1	1	1	1	1	1	1	1	1	1	0	1	1	1	1	1	1	1	1	1	1	1	1	1	1	1	F-C3DFD3EB
		2	1	1	0	0	0	0	1	1	1	1	0	1	1	1	1	1	1	1	1	0	1	0	1	1	1	1	1	1	1	1	1	1	1	1	1	F-C3DFD3EB
		3	1	1	0	0	0	0	1	1	1	1	0	1	1	1	1	1	1	1	1	0	1	1	1	1	1	1	1	1	1	1	1	1	1	1	1	F-C3DFD3EB
		4	1	1	0	0	0	0	1	1	1	1	0	1	1	1	1	1	1	1	1	0	1	1	1	1	1	1	1	1	1	1	1	1	1	1	1	F-C3DFD3EB
		5	1	1	0	0	0	0	1	1	1	1	0	1	1	1	1	1	1	1	0	1	1	1	1	1	1	1	1	1	1	1	1	1	1	1	1	F-C3DFD3EB
		6	1	1	0	0	0	0	1	1	1	1	0	1	1	1	1	1	1	1	1	0	1	1	1	1	1	1	1	1	1	1	1	1	1	1	1	F-C3DFD3EB
		7	1	1	0	0	0	0	1	1	1	1	0	1	1	1	1	1	1	1	1	0	1	0	1	1	1	1	1	1	1	1	1	1	1	1	1	F-C3DFD3EB
		8	1	1	0	0	0	0	1	1	1	1	0	1	1	1	1	1	1	1	1	0	1	1	1	1	1	1	1	1	1	1	1	1	1	1	1	F-C3DFD3EB
		9	1	1	0	0	0	0	1	1	1	1	0	1	1	1	1	1	1	1	1	0	1	1	1	1	1	1	1	1	1	1	1	1	1	1	1	F-C3DFD3EB
	事例2	10	0	0	C	1	0	0	0	1	0	0	0	0	1	0	1	1	0	1	0	1	1	0	0	1	0	1	1	1	1	0	0	1	1	1	D-11095893	
		11	1	1	0	1	0	0	1	1	1	0	1	1	1	1	1	1	1	1	1	1	1	1	0	1	1	1	1	1	1	1	1	1	1	1	1	F-D3DF7FB
		12	1	1	0	1	0	0	1	1	1	0	1	1	1	1	1	1	1	1	1	1	1	1	1	1	1	1	1	1	1	1	1	1	1	1	1	F-D3DF7FB
		13	1	0	0	1	1	0	1	0	0	0	1	1	1	1	1	1	1	1	0	0	0	0	0	0	0	0	0	0	0	0	0	0	0	0	0	F-9AA3C413
		14	0	0	0	1	0	0	0	1	0	0	0	0	1	0	1	1	1	0	1	0	0	0	1	0	0	0	0	0	0	0	0	0	0	0	0	D-110B4883
		15	0	0	0	1	0	0	0	1	0	0	0	0	1	0	1	1	1	0	1	0	0	0	1	0	0	0	0	0	0	0	0	0	0	0	0	D-110B4883
		16	0	0	0	1	0	0	0	1	0	0	0	0	1	0	1	1	0	1	0	0	0	1	0	0	0	1	0	0	0	0	0	0	0	0	0	D-110A488B
		17	1	1	0	0	0	1	1	0	0	1	1	0	1	1	1	0	1	1	0	0	0	0	1	0	1	1	1	1	0	0	0	0	0	0	0	D-C69AC35B
		18	1	1	0	0	0	1	1	0	0	1	1	0	1	1	1	0	1	1	0	0	0	0	1	1	0	1	1	0	0	0	0	0	0	0	0	D-C69AC35B

表 13 施設 F の PFGE タイプと IS コード

施設	事例	番号	PFGE															ISコード	
			各施設別クラスター																
施設F	事例1	1	1	2	3	4	5	6	7	8	9	10	11	12	13	14	15	FA	F-C3DFD3EB
		2																	
		3																	
		4																	
		5																	
		6																	
		7																	
		8	c442																
		9																	
	事例2	10	c642																D-11095893
		11	b293																F-D3DF7FB
		12	c219																F-9AA3C413
		13	c251																D-110B4883
		14	c633																D-110A488B
		15	c630																D-C69AC35B
		16	c631																
		17																	
		18																	

表 14 施設 G IS-Printing System の結果

施設	事例	番号	1st set															2nd set															ISコード						
			1	2	3	4	5	6	7	8	9	10	11	12	13	14	15	exe	16	HyA	1	2	3	4	5	6	7	8	9	10	11	12	13	14	15	16	stL2	stL1	
施設G	事例1	1	1	1	0	1	0	1	1	0	1	1	1	0	1	1	1	1	1	0	1	1	0	1	1	1	1	1	1	1	1	1	1	1	1	1	1	1	F-D35D703B
		2	1	1	0	1	0	1	1	1	0	1	1	1	1	1	1	1	1	0	1	1	0	0	1	1	1	1	1	1	1	1	1	1	1	1	1	F-D3DF727B	
		3	1	1	1	1	0	1	1	1	1	0	1	1	1	0	1	0	1	0	1	1	0	0	0	1	1	1	1	1	1	1	1	1	1	1	1	F-F3DC723B	
		4	1	1	0	0	1	1	1	1	0	1	0	1	0	1	1	1	1	1	0	1	0	0	1	0	0	1	1	1	1	1	1	1	1	1	1	F-C3D5527B	
		5	1	1	0	1	0	1	1	1	1	0	1	1	1	1	1	1	1	1	0	0	1	0	0	1	0	0	1	1	1	1	1	1	1	1	1	F-D3DF327B	
		6	1	0	1	0	0	1	1	1	0	1	0	0	0	1	1	0	0	1	0	0	1	0	0	1	0	0	1	1	1	1	1	1	1	1	1	B-D3DC727B	
		7	1	0	0	1	1	1	1	0	1	0	0	1	0	1	1	1	1	0	1	1	0	0	0	1	0	0	1	1	1	1	1	1	1	1	1	F-9FA56313	
		8	1	1	1	0	0	1	1	1	1	0	1	0	1	0	1	1	1	1	0	0																	

表 16 施設 H IS-Printing System の結果

施設	事例	番号	1st set															2nd set												ISコード							
			1	2	3	4	5	6	7	8	9	10	11	12	13	14	15	ext	16	hlyA	1	2	3	4	5	6	7	8	9	10	11	12	13	14	15	16	ext2
鉄筋H	事例1	1	1	1	1	0	0	1	1	1	0	1	1	0	1	1	1	1	1	0	1	0	1	0	0	1	0	0	0	1	1	1	1	1	1	1	F-3DB523B
	事例2	2	1	1	1	1	0	0	1	1	1	0	1	1	0	1	1	1	1	0	1	0	1	0	0	1	0	0	1	1	1	1	1	1	1	F-F3DB523B	
	事例3	3	1	1	1	1	0	0	1	1	1	0	1	1	1	1	1	1	1	0	1	1	1	0	0	1	1	1	1	1	1	1	1	1	1	F-F3DF723B	
	事例4	4	1	0	0	1	0	0	1	1	1	1	0	1	1	1	1	1	1	0	1	1	0	0	1	0	0	1	1	1	1	1	1	1	1	F-93C-F627A	
	事例5	5	1	0	0	1	0	0	1	1	1	1	0	0	1	1	1	1	1	0	1	1	0	0	1	0	0	1	1	1	1	1	1	1	1	F-93C-F627A	
	事例6	6	1	0	0	1	0	0	1	0	1	0	0	0	1	0	1	1	1	1	1	0	0	0	1	1	0	0	1	0	1	1	1	1	1	D-929BC3-3	
	事例7	7	1	0	0	1	0	0	1	0	0	0	1	0	1	1	1	1	1	0	0	0	1	1	0	0	0	1	0	1	0	1	1	1	1	D-929BC3-3	
	事例8	8	0	0	0	1	0	0	0	1	0	0	0	0	1	0	1	1	1	0	1	0	0	0	1	0	0	1	0	0	1	1	1	1	1	D-11065093	
	事例9	9	1	0	0	0	1	1	0	1	0	0	0	0	1	1	1	1	1	0	0	0	1	1	0	0	1	0	0	1	1	1	1	1	1	D-9683C313	
	事例10	10	0	0	0	1	0	0	0	1	0	0	0	1	0	1	1	1	0	1	0	1	0	0	0	1	0	0	1	0	1	0	1	1	1	D-11065092	
	事例11	11	0	0	0	1	0	0	0	1	0	0	1	1	1	1	0	1	0	1	0	0	0	1	0	0	1	0	1	0	1	0	1	1	1	D-11065092	

表 17 施設 H の PFGE タイプと IS コード

施設	事例	番号	PFGE		ISコード
			感染研Type No.	各施設別クラスター	
施設H	事例1	1	b481		F-F3DB523B
	事例2	2			
	事例3	3	b705		F-F3DF723B
	事例4	4	b213		F-93CF627A
		5			
	事例5	6	c389		D-928BC313
		7	c390		D-928BC313
	事例6	8	b423		D-110B5093
	事例7	9	c388		D-9683C313
	事例8	10	c495		D-110B5092
		11			

表 18 施設 I IS-Printing System の結果

施設	事例	番号	1st set															2nd set															S=1					
			1	2	3	4	5	6	7	8	9	10	11	12	13	14	15	ea	16	HlyA	1	2	3	4	5	6	7	8	9	10	11	12	13	14	15	16	stx2	stx3
施設1	事例1	EC11999	1	1	0	0	0	0	1	1	1	0	1	1	0	1	1	1	1	1	0	1	0	1	0	0	1	0	0	1	1	1	0	1	1	1	F-C3085276	
	事例2	EC12000	1	1	0	0	0	0	1	1	1	1	0	1	1	0	1	1	1	1	0	1	0	1	0	0	1	0	0	1	1	1	0	1	1	F-C3085276		
	事例3	EC12010	1	1	0	1	0	0	0	1	1	1	0	1	1	1	1	0	1	0	1	1	1	0	0	1	0	0	1	1	1	0	1	1	1	F-D10E7276		
	事例4	EC12013	1	1	0	0	0	0	1	1	1	1	0	1	1	0	1	1	1	0	1	0	1	0	0	1	0	0	1	1	1	0	1	1	0	1	F-C3085276	
	事例5	EC12017	1	1	0	0	0	0	1	1	1	0	1	1	0	1	1	1	1	0	1	0	1	0	0	1	0	0	1	1	1	0	1	1	0	1	F-C3085276	
	事例6	EC12018	1	1	0	1	0	0	1	1	1	0	1	1	1	1	1	1	1	1	1	1	1	1	0	0	1	0	0	1	1	1	0	1	1	0	1	F-D30FF276
	事例7	EC12021	0	1	1	1	0	0	1	1	0	1	1	1	1	1	1	1	1	0	1	1	1	0	0	0	0	0	1	0	0	1	0	0	1	1	F-735F7024	
	事例8	EC12022	1	1	0	0	0	0	1	1	1	0	1	1	0	1	1	1	1	0	1	0	1	0	0	1	0	0	1	1	1	0	1	1	0	1	F-C3085276	
	事例9	EC12027	1	1	0	0	0	0	1	1	1	0	1	1	0	1	1	1	1	0	1	0	1	0	0	1	0	0	1	1	1	0	1	1	0	1	F-C3085276	

表 19 施設 I の PFGE タイプと IS コード

施設	事例	番号	PFGE		ISコード
			感染研Type No.	各施設別クラスター	
施設1	事例1	EC11999		IA	F-C3DB5276
	事例2	EC12000			F-D1DE7276
	事例3	EC12010			F-C3DB5276
	事例4	EC12013			F-D3DFF276
	事例5	EC12017			F-735F7024
	事例6	EC12018			F-C3DB5276
	事例7	EC12021			
	事例8	EC12022			
	事例9	EC12027			

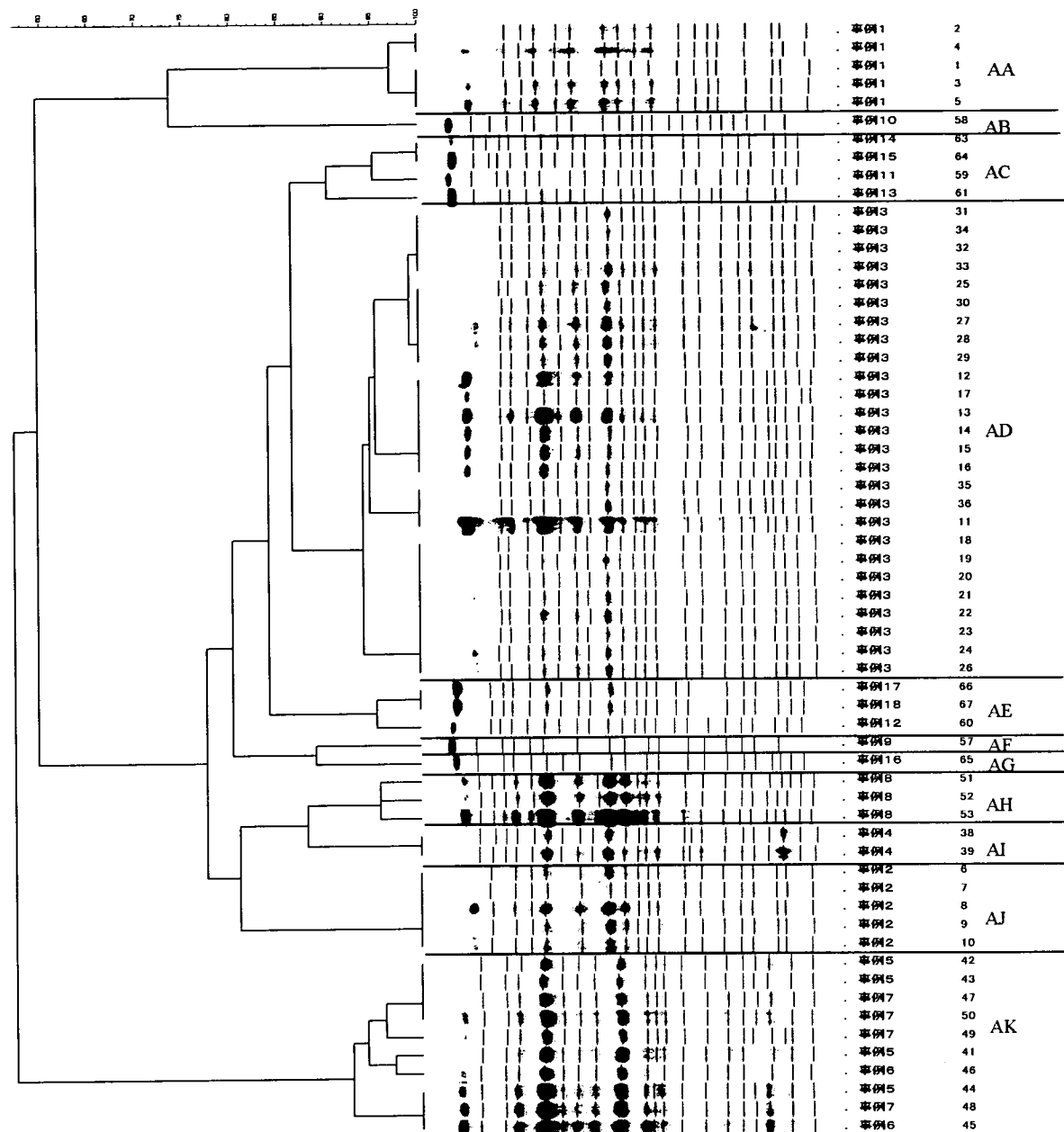


図1 施設A デンドログラム

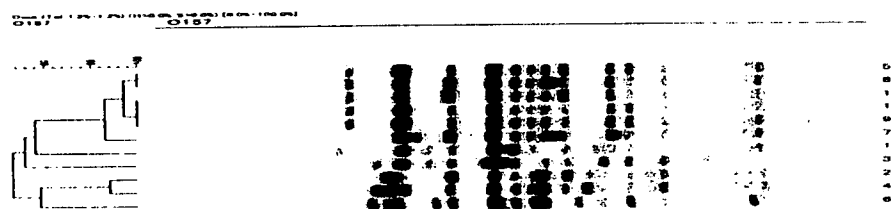


図2 施設B デンドログラム

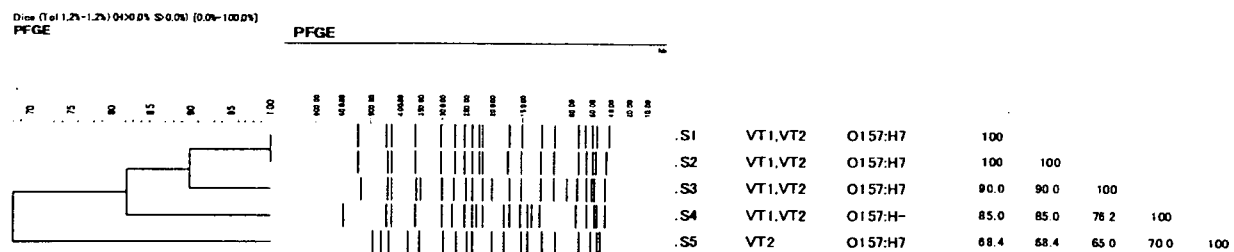


図3 施設C デンドログラム

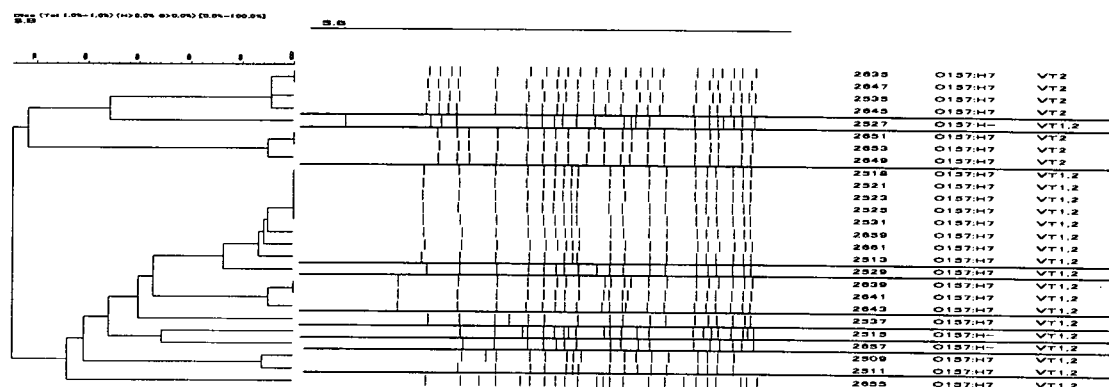


図4 施設E デンドログラム

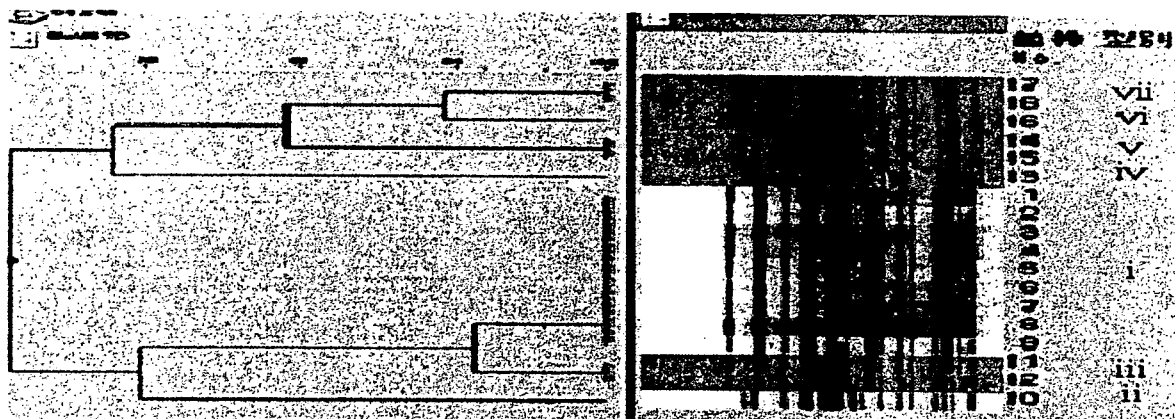


図5 施設F デンドログラム

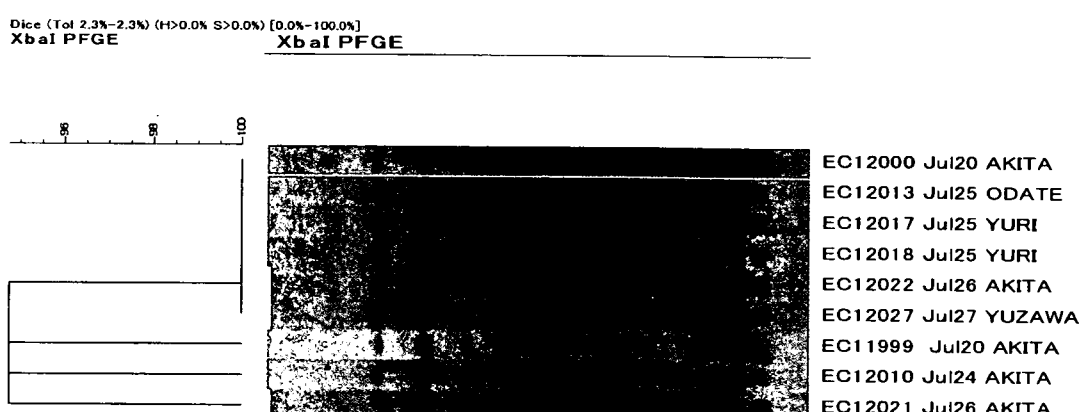


図6 施設I デンドログラム

厚生労働科学研究費補助金（新興・再興感染症研究事業）
「広域における食品由来感染症を迅速に探知するために
必要な情報に関する研究」

平成19年度 分担研究報告書

関東ブロックにおける PFGE 法の精度管理および PFGE 以外の
解析方法の検討

分担研究者	甲斐 明美	東京都健康安全研究センター
協力研究者	土井 育子	茨城県衛生研究所
	船渡川 圭次	栃木県保健環境センター
	黒澤 肇	群馬県衛生環境研究所
	倉園 貴至	埼玉県衛生研究所
	依田 清江	千葉県衛生研究所
	石原ともえ	神奈川県衛生研究所
	松本 裕子	横浜市衛生研究所
	野田 裕之	山梨県衛生公害研究所
	小山 敏枝	長野県環境保全研究所
	廣井 みどり	静岡県環境衛生科学研究所
	尾畠 浩魅	東京都健康安全研究センター
	小西 典子	東京都健康安全研究センター

研究要旨：腸管出血性大腸菌 0157 の共通菌株を用いて、各地研で感染研プロトコールに従い、ほぼ同じ条件下で PFGE 解析を行った後、成績を東京都健康安全研究センターに電送して解析ソフトを用いて解析を試みた。その結果、いずれの地研で解析した場合においても非常に類似度が高く、技術力が均一化していることが確認された。今年度は写真の取り込みの際の解像度をなるべく統一して行ったが、解析のし易さ等に差異は認められなかった。

IS-Printing system 解析法（IS 法）は PFGE 成績とも非常に良く相関し、有用な方法であることが確認された。各地研へのアンケートの結果でも、IS 法は簡便であり、PFGE 法に代わる手法として非常に期待できるという結果であった。また、異なる施設間で、菌株の相同性を比較する場合は、PFGE 画像を電送し比較するよりも容易であることが示唆された。しかし、結果の解釈に迷う場合も認められ、これらの問題点を解決することが必要であることが示唆された。

A. 研究目的

パルスフィールドゲル電気泳動(PFGE)法は、腸管出血性大腸菌0157やサルモネラ等の集団発生や散在的集団発生の感染源究明に利用されており、その有用性が確認されている。より迅速に散在的集団発生を見つけ、感染源を究明していくためには、迅速で正確な分子疫学的解析が必要である。そのためには、各地方衛生研究所で行うPFGE解析法の技術レベルが常に一定でなくてはならない。

本研究では、関東ブロック11地方衛生研究所を対象に、PFGE法の技術向上のための精度管理を行った。また、PFGE法以外の分子疫学解析法として、宮崎大学・林哲也教授らのグループによって開発されたIS-Printing system解析法(IS法)を実施し、その有用性およびPFGEパターンとの相関性等について検討した。

B. 研究方法

1. PFGE法技術向上のための精度管理

1) 供試菌株

各地研でPFGE解析をするための共通菌株として、2007年に分離された腸管出血性大腸菌01575株(VT1+VT2産生株3株およびVT2産生株、2株)を供試した。

2) 感染研プロトコールによるPFGE解析

ブロックの作製：0.7mmプラグキャスターを使用し、SeaKem Gold Agarose(TAKARA, 1%)で作製した。使用する

菌の濃度は各施設の方法で行った。

DNA抽出法：1mg/ml Proteinase K, 1%N-lauroylsarcosine in 0.5M EDTA(pH8.0)で50°C, 18~20時間行った。

制限酵素処理：EHECは制限酵素Xba Iで、サルモネラは制限酵素Xba IおよびBln Iを用いた。

電気泳動用アガロース：電気泳動用アガロースはSeaKem Gold Agarose(1%)を使用した。

泳動条件：EHECは、6V/cm, 2.2sec~54.2sec, 20時間, buffer温度12°Cで行った。泳動時間は、泳動後のバンドの先端がゲルの下から1cm~1.5cmになるように、各施設で調整した。サルモネラは、6V/cm, 2.2sec~63.8sec 20時間, buffer温度12°Cで行った。

サイズマーカー：*S. Braenderup H9812*株をXba Iで消化したものを用いた。

PFGE写真の撮影：ウェルからゲルの先端までを、できるだけ大きく撮影するようにした。

PFGE写真の取り込み：PFGE写真をスキャナー等で読み込む際、出力解像度が500~600dpi程度となるように設定し読み込んだ。

PFGE解析成績の電送：各地研で解析したPFGE画像を電子メールで送付した。

3) 画像解析：11施設から送付されたPFGE画像を対象に、画像解析ソフトFingerprinting II(BIO-RAD社)を用いてデンドログラム解析を行った。

2. 腸管出血性大腸菌集団食中毒事例および散発事例への応用

各地研で分離された腸管出血性大腸菌について PFGE 解析を行い、有用性を検討した。

3. サルモネラ集団食中毒事例および散発事例への応用

各地研で分離されたサルモネラについて PFGE 解析を行い、有用性を検討した。

4. IS-Printing System 解析

1) サンプル DNA 調整法の検討

泳動後に鮮明でシャープなバンドを得るためにサンプルの DNA 量を一定にすることが必要である。そこで、液体培地 (TSB) で 37°C, 18~20 時間培養液からサンプル調整を行い、バンドの濃さや太さを比較し、最も安定したバンドが得られる方法について検討した。DNA 抽出は、アルカリ抽出法を行った。すなわち菌を 25mM NaOH 液 50 μl に懸濁し、100°C, 10 分間加熱後、50 μl の 1MTris-HCl (pH7.0) で中和した。

2) IS-Printing System 解析と PFGE パターンの相関性の比較

関東ブロック 5 施設にキットを配布し、各地研で分離された 0157 株 20 株以上について IS 解析を行い、PFGE パターンと比較した。

3) IS-Printing System の評価

IS 解析について別紙のアンケートを実施し、意見・感想をまとめた。

C. 研究結果

1. PFGE 法技術向上のための精度管理

腸管出血性大腸菌 0157 の共通菌株 5 株を用いて、11 施設（施設 1~11）で行った PFGE 画像を写真 1 に示した。各施設ともバンドの分離が良く、非常にシャープであり、解析の基準として適していることが確認された。

各地研から電送された PFGE 画像をもとに、デンドログラム解析を行った成績を図 1 に示した。11 施設中 1 施設は、サイズマーカーのバンドが一部欠損しており、解析ができなかった。サイズマーカーバンドの欠損原因については、現在究明中である。

各施設 5 菌株をそれぞれ 2 レーンで泳動した。いずれも、菌株ごとにクラスターを形成していた。類似度をみると、菌株 No. 1 では 9 施設で 100% 一致となつたが、1 施設が 95% であった。その他の菌株でも、類似度はいずれも 90% 以上であったが、菌株 No. 2, No. 3, No. 5 では、施設ごとにバラツキが認められた。菌株によっては、500kb 付近に太いバンドが出現するが、このバンドを 1 本と判定するか、2 本と判定するか判定が困難な写真が数施設あった。また、180~310kb 付近のバンドが非常に細かいためバンド同士がつながつてしまい、バンドの選択が困難であった。

前年度、写真が不鮮明なために、バンドの選択が困難であった施設があったため、今年度は写真を取り込む際に、500~600 dpi 程度の解像度で読み込むようにした。しかし、類似度や

バンド選択の容易さ等に大きな差異は認められなかった。

2. 腸管出血性大腸菌の PFGE 解析の応用

5 地研で経験した腸管出血性大腸菌による食中毒事例から分離された菌株について PFGE 解析を行った成績を別紙 1 に示した。患者発生が他県にまたがる事例では、疫学情報の共有と PFGE 解析が有効に活用されたため、迅速に対応することができた（群馬県、横浜市）。

3. サルモネラ集団食中毒事例および散発事例への応用

4 地研で経験したサルモネラ血清型 *Enteritidis* による食中毒事例および血清型 *Typhimurium* による食中毒事例から分離された菌株について PFGE 解析を行った成績を別紙 2 に示した。患者由来株と検食由来株の PFGE パターンが一致したことから感染源が解明された事例があった（長野県）。

4. IS-Printing system 解析

1) サンプル DNA 調整法の検討

0157 を TSB に接種し 37°C 18~20 時間培養後、滅菌生理的食塩水で 10 倍、100 倍に希釈した。希釈した菌液 100 μ l を 12,000rpm で遠心後、沈渣に 50 μ l のアルカリ (25mM・NaOH) を加え 100°C 10 分間加熱して DNA の抽出を行った後、50 μ l の 1M Tris-HCl (pH7.0) で中和したものをテンプレートとして PCR 反応を行った。電気泳動後の写

真を比較した結果、菌液の 10 倍希釈液を用いた場合の方が、100 倍希釈液を使用した場合と比較してバンドの太さ・濃さが一定であった。検体間にバラツキは無く、いずれも判定し易いバンドであった（写真 2：A～D）。

2) IS-Printing System 解析と PFGE パターンの相関性の比較

関東ブロック 5 施設（A～E）において、各施設 20 株以上の 0157 について IS 解析を行い、PFGE パターンと比較した（表 1）。A 施設では 26 株を実施し、IS では 10 パターン、PFGE では 9 パターンに分類された。B～E 施設では各 20 株を実施し、B 施設では IS 8 パターン、PFGE 9 パターン、C 施設では IS 10 パターン、PFGE 18 パターン、D 施設では IS 16 パターン、PFGE 20 パターン、E 施設では IS 10 パターン、PFGE 18 パターンに分類された。

いずれの施設でも PFGE 型の方が細かい型別が可能であった。

PFGE パターンと IS パターンの相関性をみると、PFGE パターンが全く異なる場合は IS パターンも異なり、両者は非常に良く相關していた。しかし、同一集団事例で、同じ PFGE パターンを示した株でも IS パターンが異なる場合や、PFGE パターンが異なる場合でも同じ IS パターンを示した場合がそれぞれ一部に確認された。

PFGE 型が c47 であった株が 4 施設で分離されており、うち 3 施設で同じ IS パターンであった。異なる施設間で、菌株の相同性を比較する場合は、PFGE

画像を電送し比較するよりも容易であることが示唆された。

3) IS-Printing System の評価

IS 解析についてのアンケート結果を表 2 にまとめた。試薬の調整や PCR 反応そのものについては、比較的簡便であり問題はなかった。電気泳動時間は 60 分が 3 施設、75 分、90 分、7 時間が各 1 施設と、施設により異なっていた。PFGE パターンとの相関性については 5 施設で相関性ありと回答し、4 施設が PFGE 法に代わる手法として期待できるとした。しかしバンドが多くて読みにくい、2nd set の分子量が大きいところが読みにくい、同一集団なのに結果が異なり、解釈に困った等の意見もあった。

D. 考察

腸管出血性大腸菌 0157 の共通菌株を各地研で PFGE 解析し、その成績を東京都健康安全研究センターに電送後、解析ソフトを用いて解析を試みた。昨年度に引き続き、基本的なブロック作製方法の統一および写真撮影時の標準化を試みた。更に、昨年度は読み込んだ写真が不鮮明であったために、Fingerprinting II を用いた解析でバンドの選択が困難であった施設があったことから、今回は写真を取り込む際に、500~600 dpi 程度の解像度で読み込み、解析を試みたがその効果はほとんど認められなかった。むしろ、画像データの重さの方が障害であった。解析結果の類似度は、供試する菌

株によっても異なるが、今回の 5 株においては、いずれの菌株でも 90%以上の類似性が得られた。しかし、菌株によつては多少のバラツキが認められ、特に 500kb 付近の太いバンドや 180~310kb 付近の非常に細かいバンドの位置の選び方には注意が必要であった。

今年度は関東ブロック 11 施設のうち 2 施設で担当者の異動があった。地方衛生研究所では、年によって担当者が代わることもあるため、この様な精度管理の必要性が改めて示唆された。

また各地研では、いずれも実際に発生した集団および散発事例について PFGE 解析を実施し、それが行政に活用された事例を多く経験した。

IS 解析では、PCR 後の電気泳動後にシャープなバンドを得ることが、解析を行う上で非常に重要である。そこで安定したバンドを得るためにサンプル DNA の調整方法について検討した。その結果、液体培地で培養後の菌をアルカリ抽出した場合で、最も良い結果が得られた。

実際に分離された 0157 を対象に IS 解析を行い、PFGE 解析と比較した結果、PFGE パターンが明らかに異なっている場合には IS 解析でもパターンは異なっており、両者はよく相關していた。しかし、PFGE 解析で異なったパターンを示したのに IS 解析では同じパターンを示した事例や PFGE パターンは同じであったが IS パターンが異なっていた事例も認められた。IS 解析の結果解釈については、今後更に検討が必要である。

E. 結論

腸管出血性大腸菌 O157 の共通菌株を各地研で感染研プロトコールに従い、ほぼ同じ条件下で PFGE 解析を行い、その成績を東京都健康安全研究センターに電送して解析ソフトを用いて解析を試みた結果、いずれの地研で解析した場合においても非常に類似度が高く、技術力が均一化してきていることが確認された。今年度は写真の取り込みの際の解像度をなるべく統一して行ったが、その差はあまり認められなかった。

IS 解析法は PFGE 成績とも非常に良く相関し、有用な方法であることが確認された。各地研へのアンケートの結果でも、IS 法は簡便であり、PFGE 法に代わる手法として非常に期待できるという結果であった。しかし、電気泳動ゲル上的一部のバンドは、あまりにも細かい（增幅 DNA サイズの差が小さい）ために判別が困難な場合があった。また、結果の解釈に迷う場合も認められ、これらの問題点を解決することが必要であることが示唆された。

F. 健康危機情報

なし

G. 研究発表

Fumihiko Kawamori, Midori Hiroi,
Tetsuya Harada, Katsuhiko Ohata,
Kanji Sugiyama, Takashi Masuda
and Norio Ohashi ; Molecular
typing od Japanese Escherichia coli
O157:H7 isolates from clinical

specimens by multilocus
variable-number tandem repeat
analysis and PFGE, J Med
Microbiol. 57, 58-63, 2008

H. 知的所有権の取得状況

なし